

# ارائه یک الگوریتم جدید در ترکیب GPS/ABS مبتنی بر منطق فازی برای ناوبری خودرو

علی امین زاده<sup>(۱)</sup> - حامد بنی زمان<sup>(۲)</sup> - علی تراب<sup>(۳)</sup> - علی‌اکبر صفوی<sup>(۴)</sup>

- (۱) کارشناسی ارشد - دانشکده برق، دانشگاه شیراز
- (۲) دانشجوی دکترا - دانشکده برق، دانشگاه یزد
- (۳) کارشناس - شرکت پویا رهیافت
- (۴) عضو هیات علمی - دانشکده برق، دانشگاه شیراز

تاریخ پذیرش: تابستان ۱۳۸۹

تاریخ دریافت: تابستان ۱۳۸۸

**خلاصه:** سیستم مکانیاب GPS در صورت قرار گرفتن در شرایط مناسب محیطی (مشاهده حداقل چهار ماهواره GPS با توان سیگنال دریافتی کافی)، قادر است نقاط مکانی را با دقت بالا و به طور پیوسته تولید نماید. با این حال، اغلب در مناطق شهری مانند خیابان‌های با ساختمان و درخت‌های بلند، به دلیل کاهش توان سیگنال و چند مسیره شدن آن، نتیجه مکان تخمین زده شده توسط GPS، همواره دارای خطأ است. همچنین، در زیرگذرها و تونلهای سیگنال دریافتی از GPS به علت کافی نبودن تعداد ماهواره‌های در دید گیرنده GPS، سیگنال GPS قابل اطمینان نمی‌باشد. سیستم مکانیاب ABS از حسگرهای نوری نصب شده بر روی چرخ‌های خودرو تشکیل شده است که می‌تواند به طور پیوسته اطلاعات مکانی خودرو را با دقت مناسبی برای فاصله‌های زمانی کوتاه تولید نماید. در این مقاله، سیستم مکانیابی ترکیبی GPS/Abs معرفی شده است. در سیستم پیشنهادی از الگوریتم جدیدی مبتنی بر منطق فازی برای تشخیص وضعیت سیگنال GPS استفاده شده است. این الگوریتم، بر اساس اطلاعات به دست آمده از سیگنال GPS و وضعیت دینامیکی خودرو، سیگنال GPS را به سه حالت "اعتبار GPS"، "عدم اعتبار GPS" و "ایست کامل" دسته بندی می‌نماید. سپس سیستم ترکیبی بر اساس دسته بندی انجام شده، یکی از سیستم‌های مکانیابی GPS و ABS را به نحو موثری انتخاب می‌نماید. نتایج به دست آمده با استفاده از نرم افزار MATLAB نشان دهنده بهود قابل ملاحظه‌ای در دقت نقاط مکانی سیستم پیشنهادی نسبت به سیستم‌های ترکیبی متداول مبتنی بر روش‌های کلاسیک و سیستم GPS است.

**کلمات کلیدی:** ABS، منطق فازی، سیستم نظارتی، سیستم‌های مکانیابی.

حرکت‌های آهسته خودرو می‌باشد [۱,۲]. نقاط پر رفت و آمد شهری، زیرگذرها و پل‌ها، مکانهای آسیب پذیری در برابر تاثیرات این گونه خطاهای می‌باشند [۳]. تاکنون تلاشهای گسترده‌ای در جهت بهبود قابلیت اطمینان سیستمهای تعیین موقعیت خودرو از طریق ترکیب سیستم‌های مکانیابی مختلف انجام گرفته است [۶-۳]. در بیشتر موارد از GPS به عنوان یک سیستم مکانیابی مرجع و از دیگر سیستم‌های مکانیابی به عنوان یک سیستم مکانیابی کمکی استفاده شده است. زیروسکوپ، سرعت‌سنج<sup>۱</sup> و قطب‌نما مغناطیسی از جمله حسگرهای متداولی

## ۱- مقدمه

در سالهای اخیر سیستم ناوبری خودرو<sup>۲</sup> از جمله موضوعات مطرح و جدید در سیستم حمل و نقل درون/برون شهری بوده است. سیستم موقعیت‌یاب جهانی<sup>۳</sup> به عنوان راهکاری کارآمد در سیستم‌های ناوبری مختلف، طیف وسیعی از کاربردهای مکانیابی را به خود اختصاص داده است [۱]. برای تعیین موقعیت مناسب GPS حداقل چهار ماهواره مورد نیاز می‌باشد، اما دقت موقعیت‌یابی، تحت تأثیر عوامل مختلفی از جمله خطای ماهواره‌ها و گیرنده، چند مسیره شدن و از بین رفتن سیگنال و همچنین تغییرات فاز سیگنال در طول مانورها و

می نماید؛ در غیر این صورت، سیگنال GPS نامعتبر شناخته شده و تنها از مدل دینامیکی خودرو جهت مکانیابی استفاده می گردد. یکی از معیارهای متداول دیگر که می تواند خطای GPS را به طور دقیقتری شناسایی کند، میزان توان سیگنال حامل به نویز ( $N_0/C/N_0$ )<sup>۱۱</sup> می باشد که بسته به شرایط محیطی متفاوت، متغیر است و کاهش آن باعث افزایش خطای GPS می شود [۱۱، ۱۰].

از مهمترین مشکلات به کارگیری معیارهای فوق در سیستم های نظارتی، حساسیت بالای آن نسبت به تغییرات حول حد آستانه می باشد که ناپایداری سیستم ترکیب کننده را به همراه خواهد داشت.

آخر تکنیک های جدیدی مبتنی بر سیستم های هوشمند ارائه گردیده اند که با استفاده از معیارهای مختلف، توانسته اند قابلیت اطمینان و پایداری سیستم نظارتی را به میزان قابل ملاحظه ای افزایش دهند. در مرجع [۱۵] روشی کاربردی جهت تعیین قابلیت اطمینان سیگنال GPS مبتنی بر منطق فازی و معیارهای  $C/N_0$  و نرخ محو شدگی ماهواره ها<sup>۱۲</sup> ارائه گردیده است. این پارامترها نقش موثری در تعیین میزان کیفیت سیگنال GPS دارند، به طوری که سیستم فازی با استفاده از این پارامترها قادر به تضمیم گیری مطمئنی در مورد اعتبار و یا عدم اعتبار سیگنال GPS خواهد بود. با این حال، به دلیل وابستگی زیاد سیستم نظارتی به سیگنال GPS، در مواردی که اطلاعات به دست آمده از GPS صحیح نباشد، دقت تضمیم گیری قابل قبول نخواهد بود.

در این مقاله الگوریتم نظارتی جدیدی مبتنی بر منطق فازی پیشنهاد گردیده است که می تواند خطای GPS را بر اساس شرایط محیطی مختلف و اطلاعات دینامیک خودرو (برگرفته از هر دو سیستم مکانیابی GPS و ABS) تشخیص دهد<sup>۱۳</sup>. در ادامه الگوریتم پیشنهادی با دسته بندی اطلاعات ناوی بری به دسته های "اعتبار GPS"، "عدم اعتبار GPS" و "ایست کامل خودرو"، می تواند نحوه کار کرد سیستم ترکیب کننده را بهبود بخشد. سیستم ترکیب کننده استفاده شده در این مقاله، بر اساس اطلاعات دریافت شده از الگوریتم نظارتی می تواند هر یک از سیستم های مکانیابی GPS یا ABS را به عنوان سیستم مرجع انتخاب نماید. از مزایای بر جسته این سیستم، قابلیت اطمینان و پایداری بالای آن نسبت به دیگر سیستم های نظارتی می باشد. همچنین الگوریتم پیشنهادی را می توان در جهت تشخیص دیگر خطاهای GPS و ABS با افزایش قوانین جدید فاری گسترش داد.

این مقاله از بخش های مختلف زیر تشکیل شده است. در بخش دوم، سیستم مکانیابی مبتنی بر ABS معرفی می شود. بخش سوم، ساختار سیستم مکانیابی ترکیبی ABS/GPS را بیان می کند. الگوریتم نظارتی پیشنهادی مبتنی بر منطق فازی در بخش چهارم ارائه می گردد، که در این بخش پایداری این سیستم نیز مورد آزمایش قرار گرفته است. در بخش پنجم، نتایج آزمایش های مختلف بر سیستم ترکیبی پیشنهادی در یک محیط واقعی توضیح داده خواهد شد. سرانجام، در بخش های ششم و هفتم به نتیجه گیری و ارائه زمینه های مطالعاتی آینده پرداخته شده است.

هستند که به طور گسترده در سیستم های مکانیابی خودرو، همراه با GPS مورد استفاده قرار می گیرند [۳].

سیستم ترمز ضد قفل (ABS)<sup>۱۴</sup> که در اغلب خودروهای امروزی موجود می باشد شامل انکودرهای نوری بسیار دقیقی است که بر روی چرخ های خودرو تعییه شده است و قادر به اندازه گیری سرعت زاویه ای دقیق چرخ می باشد [۶]. با در دست داشتن سرعت زاویه ای مربوط به هر یک از چرخ ها، می توان پارامترهای لازم برای مکانیابی خودرو را به دست آورد. علاوه بر این، به کارگیری حسگر ABS به عنوان یک سیستم مکانیابی مستقل در مقایسه با دیگر حسگرها مانند ژیروسکوپ، به دلیل وجود آن در اغلب خودروها کاملاً مقرر و معمول به صرفه می باشد و همچنین از دقت بالایی نیز برخوردار است.

به منظور ترکیب سیستم های مکانیابی گوناگون، تکنیک های متفاوتی ارائه گردیده است [۷، ۸]. یکی از مهم ترین سیستم های ترکیب کننده، فیلتر کالمون است که به عنوان روشی کاربردی سال ها مورد توجه قرار گرفته است [۸]. از مشکلات عمدی این روش می توان به وابستگی آن به مدل سیستم و همچنین عدم امکان محاسبه دقیق نویزهای فرایند (R) و اندازه گیری (Q) اشاره کرد [۷]. با پیشرفت فن آوری های محاسباتی در زمینه های نرم افزاری و سخت افزاری، استفاده از الگوریتم های هوش مصنوعی<sup>۱۵</sup> به عنوان نسل جدیدی از سیستم های ناوی بری مورد توجه خاصی قرار گرفته اند [۷]. الگوریتم های هوش مصنوعی شامل شبکه عصبی مصنوعی، منطق فازی، محاسبات آماری<sup>۱۶</sup>، سیستم های خبره و الگوریتم زنتیک می باشد [۹]. سیستم های ترکیبی مبتنی بر الگوریتم های هوشمند علاوه بر عدم نیاز به مدل دینامیکی سیستم، کاملاً انعطاف پذیر بوده و به دلیل تناسب آن با روش فکری ذهن انسان قابل فهم است. یکی از نکات پراهمیت جهت بالا بردن قابلیت اطمینان سیستم های مکانیابی ترکیبی، استفاده از الگوریتم های نظارتی می باشد [۴]. این گونه الگوریتم ها با تشخیص دامنه قابلیت اطمینان<sup>۱۷</sup> هر یک از سیستم های مکانیابی، می تواند نحوه کار کرد سیستم ترکیب کننده را بهبود بخشد. قطع شدن GPS و تعداد ماهواره های در دید، از جمله معیارهای ساده و کاربردی هستند که در سیستم های نظارتی جهت تشخیص موجود بودن GPS استفاده می شود.

در مرجع [۱۲]، یک سیستم مکانیابی ترکیبی GPS/INS مبتنی بر شبکه عصبی معرفی شده است. در این سیستم با تشخیص وصل بودن GPS، عمل آموزش داده های INS بر مبنای GPS انجام می شود و نتایج حاصل از آن در زمان قطع بودن GPS اعمال می گردد. در مرجع [۴]، با در نظر گرفتن یک الگوریتم نظارتی مبتنی بر معیار تعداد ماهواره های در دید توانسته است قابلیت اطمینان سیستم ترکیبی GPS/INS/DR را افزایش دهد؛ به این صورت که اگر تعداد ماهواره های در دید، از یک حد آستانه هی از پیش تعیین شده بیشتر باشد، الگوریتم نظارتی سیگنال GPS را معتبر شناخته و در ادامه از فیلتر کالمون برای ترکیب تمامی سیستم های مکانیابی استفاده

معادله (۲) رابطه میان سرعت چرخهای عقب، سرعت لحظه‌ای و جهت حرکت خودرو را نشان می‌دهد. در این معادله  $d$ ،  $V_{L_k}$  و  $V_{R_k}$  به ترتیب فاصله بین چرخهای عقب، سرعت‌های لحظه‌ای چرخ چپ و راست، سرعت خطی و جهت حرکت لحظه‌ای خودرو می‌باشد.

$$\theta_k = \operatorname{tg}^{-1}\left(\frac{d}{V_{R_k} - V_{L_k}}\right), \quad v_k = \frac{1}{2}(V_{R_k} + V_{L_k}) \quad (2)$$

بر اساس معادله (۲) و با فرض مفادیر،  $n = 47 \frac{\text{pulse}}{\text{rev}}$ ،  $R = 0.3556 \text{m}$  سرعت به دست آمده از سیگنال ABS (مربوط به شکل (۲-۵))، و سرعت GPS را نشان می‌دهد. در مدت زمان آزمایش، خودرو در شرایطی مناسب حرکت کرده است و سرعت GPS می‌تواند به عنوان معیاری مناسب جهت مقایسه با سرعت ABS در نظر گرفته شود. همان طور که از شکل مشخص است، سرعت به دست آمده از ABS و GPS تقریباً بر هم منطبق می‌باشد.

## ۲-۲- معادلات سینماتیک

شکل (۴) مدل حرکتی خودرو را در محور مختصات X-Y نشان می‌دهد. در این مدل فرض بر این است که در فاصله‌های زمانی کوتاه (کمتر از ۱ ثانیه)، خودرو به صورت مستقیم الخط حرکت می‌کند. همان‌طور که مشخص است از اختلاف سرعت چرخهای عقب، مرکز چرخش لحظه‌ای<sup>۱۵</sup> پدید خواهد آمد که میزان تغییر جهت حرکت خودرو را در هر لحظه تعیین می‌کند. معادله (۳) روابط سینماتیک گسسته خودرو را بیان می‌کند.

$$\begin{aligned} x_{k+1} &= x_k + \Delta t \cdot v_{k+1} \cdot \cos(\psi_{k+1}) \\ y_{k+1} &= y_k + \Delta t \cdot v_{k+1} \cdot \sin(\psi_{k+1}) \\ \psi_{k+1} &= \sum_{i=1}^{k+1} \theta_i \end{aligned} \quad (3)$$

در این رابطه،  $x_k$  و  $y_k$  موقعیت مرکز محور چرخهای عقب خودرو،  $\psi_k$  زاویه بین جهت بردار سرعت و محور X، و  $\Delta t$  زمان نمونه برداری می‌باشد.

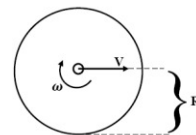
استفاده از معادلات سینماتیک گسسته در مدل دو چرخ عقب، از یک سو محاسبات را ساده‌تر می‌نماید و از سوی دیگر محدودیت‌هایی از جمله خطای مدل را به همراه خواهد داشت. خطای مدل، مکانیابی توسط ABS را در فواصل طولانی دچار مشکل می‌نماید.

## ۲- سیستم مکانیابی مبتنی بر ABS

سیستم ABS شامل انکوادرهای نوری بسیار دقیقی است که بر روی چرخهای خودروهای امروزی تعییه شده است و قادر به تولید پالس‌های الکترونیکی برای اندازه‌گیری سرعت زاویه‌ای هر چرخ می‌باشد. با در دست داشتن سرعت زاویه‌ای هر یک از چرخهای عقب، می‌توان سرعت خطی و همچنین جهت حرکت خودرو را برای سیستم مکانیاب ABS محاسبه نمود. در این بخش ابتدا، روش‌های استخراج سرعت خطی و همچنین جهت حرکت خودرو به عنوان پارامترهای مکانیابی مورد بررسی قرار می‌گیرد و سپس به ارائه معادلات سینماتیک خودرو می‌پردازیم.

### ۲-۱- پارامترهای مکانیابی: سرعت و جهت

شکل (۱) نمونه‌ای از یک چرخ در حال حرکت را نشان می‌دهد. برای محاسبه سرعت خطی هر چرخ نیاز به در دست داشتن سرعت زاویه‌ای و شعاع آن می‌باشد. معادله (۱) رابطه بین سرعت زاویه‌ای و سرعت خطی را با فرض نادیده گرفتن نیروهای وارد بر لاستیک، نشان می‌دهد.



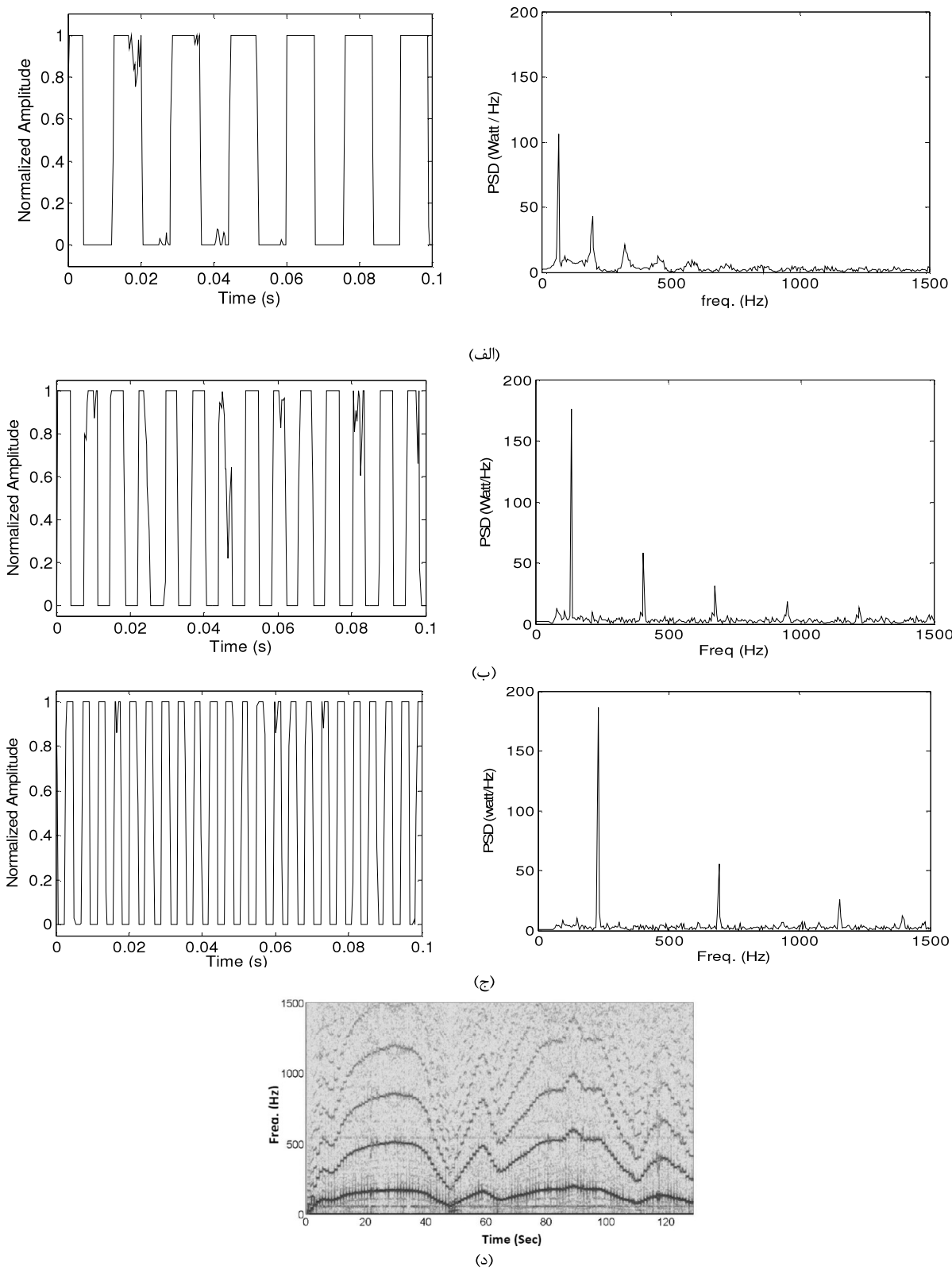
شکل (۱): نمونه‌ای از یک چرخ در حال حرکت

Fig. (1): A sample of a moving wheel

$$V = R\omega \quad (1)$$

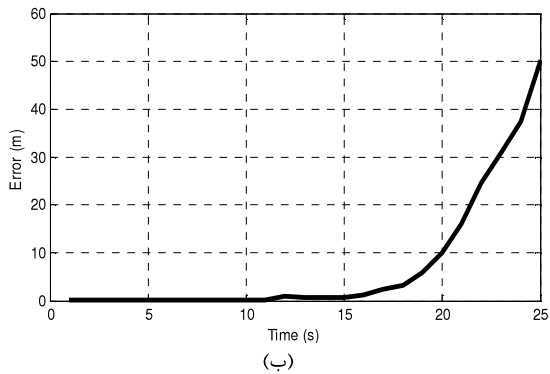
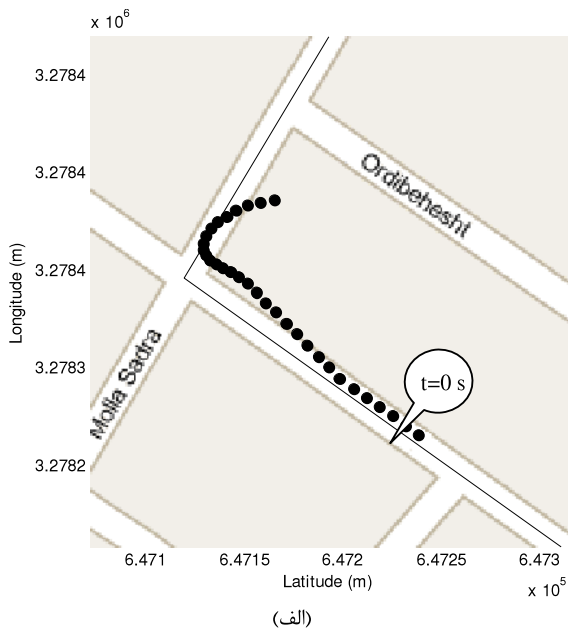
$$\omega = \frac{2\pi}{nT}$$

که  $R$  شعاع چرخ،  $n$  تعداد پالس در هر دور و  $T$  دوره تنابو پالس به دست آمده از حسگر ABS می‌باشد. شکل (۲-الف تا ج) با در نظر گرفتن نرخ نمونه برداری 3000 نمونه بر ثانیه و 512 FFT نقطه ای، نمونه‌هایی از سیگنال حسگر ABS برای مدت 0.1 ثانیه و طیف فرکانسی آن را در سرعت‌های مختلف نشان می‌دهد. همچنین اسپکتروگرام سیگنال ABS، با پنجره‌ای به طول 500 و 512 FFT نقاطی برای مدت زمان 129 ثانیه در شکل (۲-د) نمایش داده شده است. مطابق شکل، سیگنال ABS در طول زمان دچار تغییراتی شده است. از جمله عوامل تاثیر گذار بر سیگنال ABS می‌توان نویز حرارتی، نویز ناشی از شمع‌های موتور، تغییر جریان لحظه‌ای برق خودرو و ضربه‌های ناگهانی وارد شده به چرخ خودرو را بر شمرد.



شکل (۲): نمونه هایی از سیگنال حسگر ABS و طیف فرکانسی آن؛ (الف) سیگنال و طیف فرکانسی در سرعت  $11.5034 \text{ km/h}$ ، (ب) در سرعت  $24.0394 \text{ km/h}$ ، (ج) در سرعت  $39.4934 \text{ km/h}$  و (د) اسپکتروگرام سیگنال

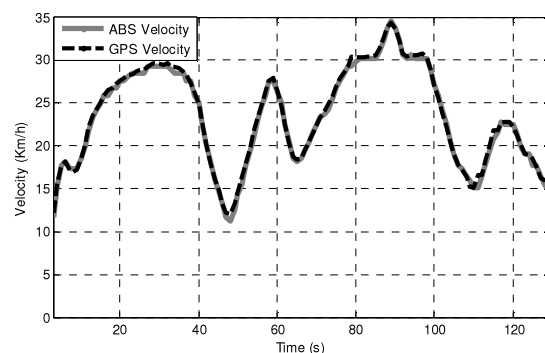
Fig. (2): Samples of ABS sensor signals and its frequency spectrum: (a) The signal and its frequency spectrum at  $11.5034 \text{ km/h}$  speed, (b) At  $24.0394 \text{ km/h}$ , (c) At  $39.4934 \text{ km/h}$ , (d) The spectrum signal



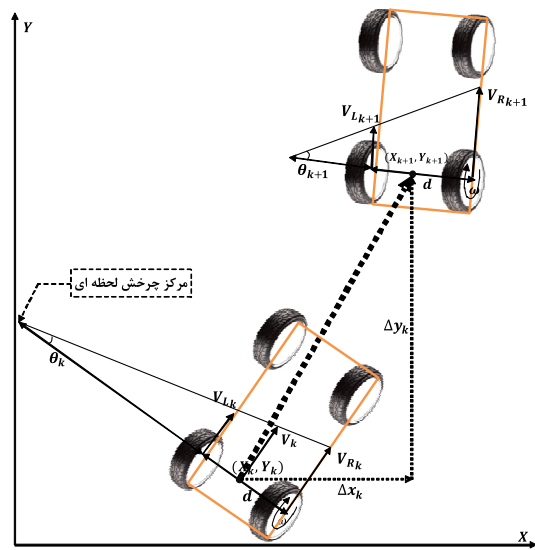
شکل (۵): (الف) نمونه‌ای از مکانیابی ABS؛ (ب) خطای مکانیابی ABS نسبت به مسیر واقعی حرکت

Fig. (5): (a) A sample found by ABS location-finder (b) The ABS location-finding error with respect to the real path

**۳- ساختار سیستم مکانیابی ترکیبی**  
 شکل (۷) معماری سیستم مکانیاب را نشان می‌دهد. به طور کلی معماری سیستم مکانیاب از دو بخش اصلی سخت درون خودرو، شامل یک پردازشگر مرکزی است که با نمونه برداری از سیگنال‌های GPS و ABS در ۳۲ ثانیه منطبق بر نقشه را نمایش می‌دهد. مسیر اصلی حرکت خودرو، محور خیابان می‌باشد. همان‌طور که مشخص است در زمان‌های طولانی مکان‌های به دست آمده از سیستم ABS از محور اصلی منحرف شده است. در شکل (۵-ب) خطای نقاط مکانی به دست آمده از ABS نسبت به محور اصلی خیابان نمایش داده شده است. که در آن، خط، فاصله هر نقطه تا مسیر واقعی حرکت است. مطابق شکل قابلیت اطمینان سیستم مکانیاب با گذشت زمان کاهش می‌یابد. با این حال به کارگیری سیستم ABS بر مبنای معادله (۳) برای مکانیابی‌های کوتاه مدت ایده مناسبی بوده و کاهش پیچیدگی‌های سخت افزاری و نرم افزاری را نیز به همراه خواهد داشت.



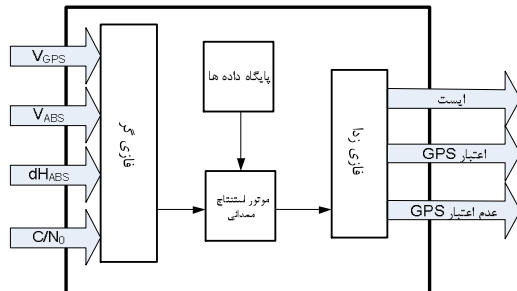
شکل (۳): سرعت‌های به دست آمده از مکانیاب ABS و GPS  
 Fig. (3): The speeds found by ABS and GPS location-finders



شکل (۴): مدل سینماتیک خودرو  
 Fig. (4): The vehicle cinematic model

شکل (۵-الف) نمونه‌ای از مکانیابی ABS در ۳۲ ثانیه منطبق بر نقشه را نمایش می‌دهد. مسیر اصلی حرکت خودرو، محور خیابان می‌باشد. همان‌طور که مشخص است در زمان‌های طولانی مکان‌ای که به دست آمده از سیستم ABS از محور اصلی منحرف شده است. در شکل (۵-ب) خطای نقاط مکانی به دست آمده از ABS نسبت به محور اصلی خیابان نمایش داده شده است. که در آن، خط، فاصله هر نقطه تا مسیر واقعی حرکت است. مطابق شکل قابلیت اطمینان سیستم مکانیاب با گذشت زمان کاهش می‌یابد. با این حال به کارگیری سیستم ABS بر مبنای معادله (۳) برای مکانیابی‌های کوتاه مدت ایده مناسبی بوده و کاهش پیچیدگی‌های سخت افزاری و نرم افزاری را نیز به همراه خواهد داشت.

می‌دهد. مطابق شکل، به منظور انتخاب جداگانه هر یک از خروجی‌ها از توابع عضویت ضربه<sup>۲</sup> استفاده شده است. در این سیستم نظارتی فازی زدای<sup>۳</sup> به دلیل نقش موثر آن در تعیین جداگانه خروجی‌ها استفاده شده است.



شکل (۶): سیستم نظارتی فازی همراه با ورودی و خروجی‌ها  
Fig. (6): The fuzzy observation system together with inputs and outputs

سیستم نظارتی فازی با استفاده از سرعت‌های لحظه‌ای GPS و ABS مبتنی بر سه قانون اولیه زیر می‌تواند حالت‌های مختلف "اعتبار GPS", "عدم اعتبار GPS" و "ایست کامل" را تشخیص دهد.

- 1- IF  $V_{ABS}$  is Low and  $V_{GPS}$  is Low THEN GPS is Unavailable
  - 2- IF  $V_{ABS}$  is High and  $V_{GPS}$  is High THEN GPS is Available
  - 3- IF  $V_{ABS}$  is VeryLow and  $V_{GPS}$  is Low THEN STOP
- قوانين بالا با تشخیص حرکت آهسته خودرو، اعتبار و یا عدم اعتبار سیگنال GPS را تعیین می‌نماید. این قوانین در صورتی از کارایی مناسبی برخوردار است که ورودی‌های سیستم نظارتی  $V_{ABS}$  و  $V_{GPS}$  دارای خطای کمی نسبت به سرعت واقعی خودرو باشد. اما با توجه به وجود خطای لحظه‌ای در  $V_{ABS}$  و  $V_{GPS}$ ، استفاده از ورودی دیگری با عنوان تغییرات جهت حرکت خودرو ( $dH_{ABS}$ ) می‌تواند عامل کمک کننده‌ای در کاهش خطای لحظه‌ای سیستم نظارتی باشد. با توجه به خطای GPS در مانورها و سرعت‌های پایین، سیستم نظارتی فازی با استفاده از ورودی  $dH_{ABS}$  می‌تواند این حالت‌ها را تشخیص دهد و خطای تصمیم‌گیری را به میزان قابل ملاحظه‌ای کاهش دهد. از جمله معیارهای دیگری که برای تشخیص خطای GPS استفاده می‌شود،  $C/N_0$  است [۵]. با توجه به بررسی‌ها و آزمایش‌های مختلف، مقدار  $C/N_0$  کمتر از حد آستانه ۱۵ dB-Hz نشان دهنده تضعیف سیگنال GPS و مقادیر بین ۱۵ تا ۲۵ و بیشتر از ۲۵ را می‌توان به ترتیب سیگنال‌دهی مناسب و عالی در نظر گرفت [۱۰].
- جدول (۱) تمامی قوانین فازی به دست آمده را نشان می‌دهد.

سیستم ترکیب‌کننده، با دریافت اطلاعات از سیستم نظارتی فازی عملیات ترکیب سیستم‌های مکانیابی ABS و GPS را انجام می‌دهد. در این مقاله از یک سیستم ترکیب‌کننده انتخابگر<sup>۱۷</sup> استفاده شده است، که در آن هر یک از سیستم‌های مکانیابی (GPS یا ABS) بسته به حالت مشخص شده در سیستم نظارتی فازی، به کار گرفته خواهد شد. این بدان معنا است که هرگاه حالت "ایست کامل" توسط سیستم نظارتی فازی تعیین گردید، سیستم ترکیب‌کننده، موقعیت قبلی را به عنوان موقعیت فعلی در نظر می‌گیرد؛ همچنین اگر حالت "عدم اعتبار GPS" مشخص شود، مکانیابی توسط ABS انجام می‌گردد و سرانجام با تشخیص "اعتبار GPS"، مکانیابی بر پایه GPS خواهد بود. در پایان، با استفاده از اطلاعات فراهم شده توسط سیستم ترکیب‌کننده و همچنین استفاده از نقشه دیجیتالی، موقعیت خودرو بر روی نقشه نمایش داده می‌شود.

#### ۴- سیستم نظارتی پیشنهادی

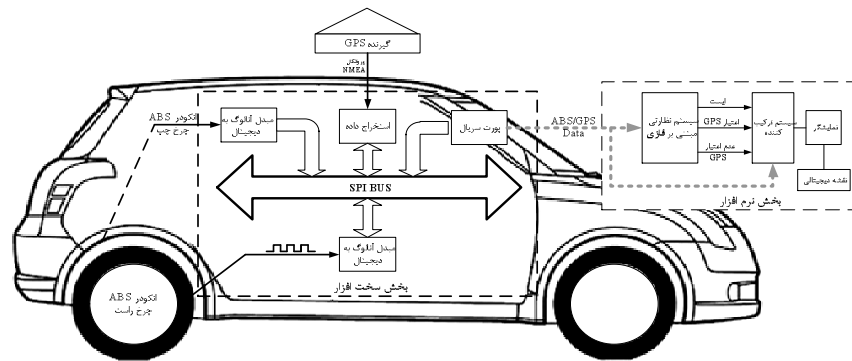
##### ۴-۱- الگوریتم سیستم نظارتی فازی

الگوریتم نظارتی پیشنهادی بر اساس منطق فازی طراحی شده است. این الگوریتم می‌تواند خطاهای GPS را بر اساس دینامیک خودرو و شرایط محیطی مختلف برگرفته از سیگنال‌های GPS و ABS تشخیص داده و به سه حالت "اعتبار GPS", "عدم اعتبار GPS" و "ایست کامل" دسته‌بندی نماید. پارامترهای سرعت ( $V_{GPS}$ ) و  $C/N_0$  به دست آمده از GPS و همچنین سرعت ( $V_{ABS}$ ) و تغییر جهت حرکت ( $dH_{ABS}$ ) به دست آمده از ABS دارای اطلاعات دینامیکی خودرو و شرایط محیطی است که به عنوان ورودی‌های فازی در نظر گرفته شده است.

یکی از خصوصیات مهم سیستم نظارتی فازی که آن را از سیستم‌های نظارتی راجح متمایز می‌کند، پایداری آن در برابر کلیدزنی متوالی بین حالت‌های مختلف خروجی است. به عبارتی دیگر این الگوریتم از تغییرات شدید بین حالت‌های خروجی جلوگیری می‌کند.

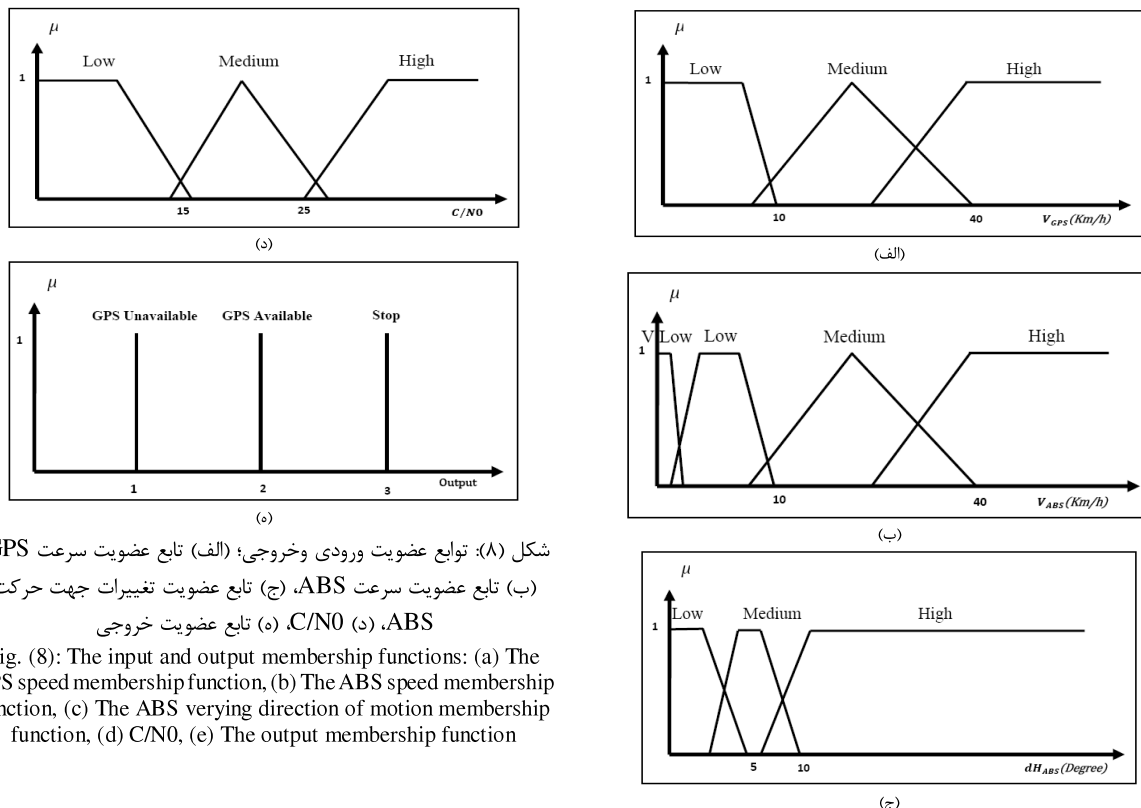
سیستم نظارتی پیشنهادی بر اساس حرکتهای آهسته و مانورهای خودرو در نواحی پر رفت آمد شهری طراحی شده است. تغییر پایاس<sup>۱۸</sup> و تغییر فاز زمانی<sup>۱۹</sup> سیگنال GPS از عوامل ایجاد خطای موقعیت یا در طول مانورها و حرکتهای آهسته خودرو می‌باشد [۱۲]. شکل (۶) سیستم نظارتی فازی شامل پایگاه داده‌ها و موتور استنتاج را همراه با ورودی و خروجی‌های آن نشان می‌دهد. جهت پیاده‌سازی این سیستم از موتور استنتاج مدلی و توابع عضویت ورودی مثلثی و ذوزنقه‌ای استفاده شده است شکل (۸-الف تا د). توابع عضویت ورودی بر اساس آزمایشات مختلف محیطی به گونه‌ای طراحی شده است که کمترین خطای سیستم مکانیابی و بیشترین پایداری را به همراه داشته باشد.

شکل (۸-ه) توابع عضویت خروجی سیستم نظارتی فازی را نشان



شکل (۷): معماری سخت افزاری و نرم افزاری سیستم مکانیابی ترکیبی

Fig. (7): The software and hardware architecture of the combined location-finder system



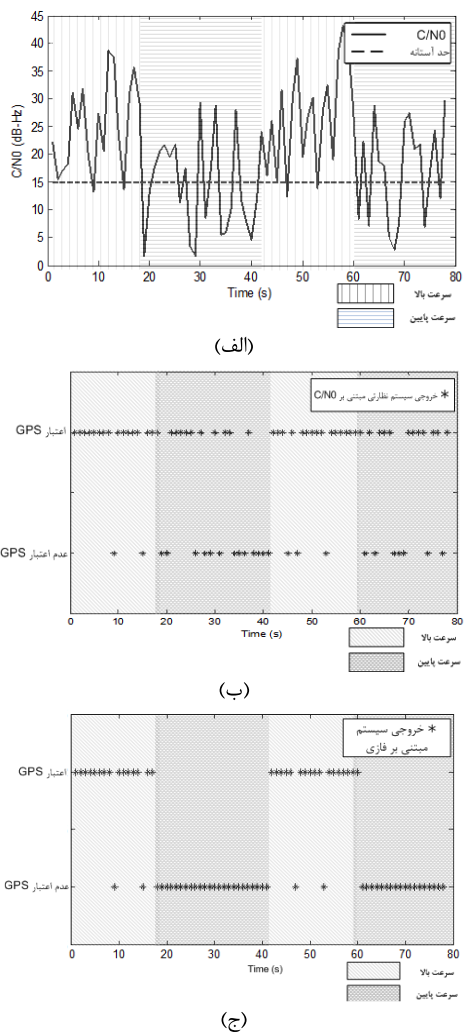
شکل (۸): توابع عضویت ورودی و خروجی؛ (الف) تابع عضویت سرعت GPS، (ب) تابع عضویت سرعت ABS، (ج) تابع عضویت تغییرات جهت حرکت ABS، (د) تابع عضویت خروجی C/N0، (e) تابع عضویت خروجی ABS

Fig. (8): The input and output membership functions: (a) The GPS speed membership function, (b) The ABS speed membership function, (c) The ABS varying direction of motion membership function, (d) C/N0, (e) The output membership function

Table (1): The data base

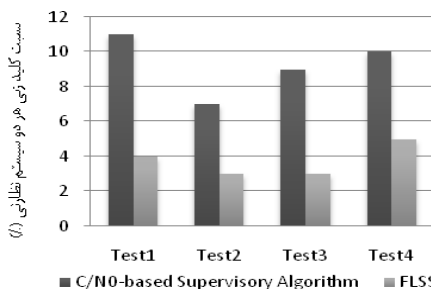
جدول (۱): پایگاه داده‌ها

Output	Input				No.
	C/N <sub>0</sub>	dH <sub>ABS</sub>	V <sub>GPS</sub>	V <sub>ABS</sub>	
Unavailable	---	---	Low	Low	1.
Available	---	Medium	Medium	Medium	2.
Available	High	---	High	High	3.
Unavailable		Medium	Medium	Low	4.
Stop	---	---	Low	VeryLow	5.
Unavailable	Low	High	High	Low	6.
Unavailable	Medium	High	Medium	Low	7.
Unavailable	Low	---	---	---	8.
Available	High	---	Low	Medium	9.
Available	Medium	Medium	High	Medium	10.



شکل (۹): (الف) مقادیر C/N0 دریافتی از GPS. (ب) نتیجه تصمیم گیری سیستم نظارتی مبتنی بر C/N0. (ج) نتیجه تصمیم گیری سیستم نظارتی پیشنهادی

Fig. (9): (a) The C/N0 received from GPS, (b) The result of determination of observation system based on C/N0, (c) The result of determination based on proposed system of observation



شکل (۱۰): مقایسه پایداری سیستم نظارتی پیشنهادی و سیستم نظارتی مبتنی بر C/N0 در چهار آزمایش مختلف

Fig. (10): The comparison of proposed stability observation system and a system based on C/N0 for 4 different tests

#### ۴-۲- بررسی پایداری سیستم نظارتی فازی

در این بخش پایداری سیستم نظارتی مبتنی بر منطق فازی در برابر تغییرات C/N<sub>0</sub> حول "حد آستانه" بررسی خواهد شد. شکل (۹-الف) مقادیر C/N<sub>0</sub> دریافتی از GPS را برای مدت زمان 80 ثانیه و در دو وضعیت مختلف خودرو (سرعت کم و سرعت زیاد) نشان می‌دهد. همچنین شکلهای (۹-ب و ج) نتیجه تصمیم‌گیری سیستم نظارتی مبتنی بر C/N0 و سیستم نظارتی پیشنهادی، حول حد آستانه 15 dB-Hz را نشان می‌دهد. همان‌طور که مشخص است در C/N<sub>0</sub> سرعت‌های پایین (کمتر از 10km/h) سیستم نظارتی مبتنی بر GPS دچار تغییرات تصمیم‌گیری زیادی بین اعتبار و یا عدم اعتبار گردیده است که این خود باعث ناپایداری سیستم نظارتی می‌گردد؛ اما از آن جایی که الگوریتم نظارتی فازی بر اساس سرعت‌های پایین طراحی شده است، پایداری بهتری را از خود نشان می‌دهد. با این حال این دو الگوریتم نظارتی، در سرعت‌های بالا (بیشتر از 20km/h) پایداری یکسانی را از خود نشان می‌دهند.

همچنین شکل (۱۰) تعداد کلیدزنی‌های سیستم نظارتی فازی و سیستم نظارتی مبتنی بر C/N<sub>0</sub> را حول حد آستانه، در چهار آزمایش مختلف نشان می‌دهد. مدت زمان انجام هر آزمایش 60 ثانیه در نظر گرفته شده است. شرایط تست بگونه‌ای فراهم شده است که می‌توان سیستم‌های تحت آزمایش را در سرعت‌ها و C/N<sub>0</sub>‌های مختلف به خوبی مورد بررسی قرار داد.

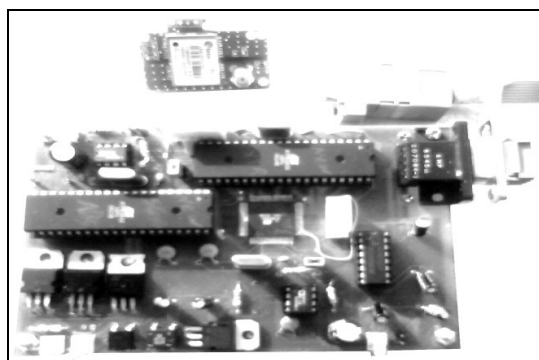
همان‌طور که نمودار نمایش می‌دهد تعداد کلیدزنی سیستم نظارتی فازی نسبت به C/N<sub>0</sub> کمتر بوده و این نشان‌دهنده پایداری بالاتر آن است.

## ۵- مشخصات سخت افزاری و بررسی نتایج

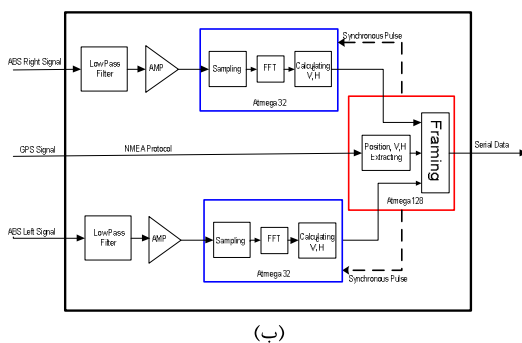
### ۱-۱- پیاده سازی سخت افزاری

در این تحقیق، آزمایش‌های مختلفی برای بررسی عملکرد سیستم GPS/ABS و الگوریتم نظریاتی انجام گرفته است. در این آزمایش‌ها از یک گیرنده GPS محصول شرکت Ublox و حسگرهای ABS خودرو پژو ۲۰۶ استفاده شده است. (شکل ۱۱)

شکل (۱۲-الف) نمایی کلی از سخت افزار به کار گرفته شده درون خودرو (دیاگرام بلوکی) بخش سخت افزار (ب) مطابق شکل (۱۲-ب) دیاگرام بلوکی آن را با جزئیات بیشتر نشان می‌دهد. مطابق شکل، به منظور کاهش میزان نویز، سیگنال خروجی حسگرهای ABS ابتدا از یک فیلتر پایین گذر عبور داده می‌شوند. سپس، سیگنال‌های ABS فیلتر شده، به میزان مناسب تقویت گردیده و برای نمونهبرداری<sup>۲۲</sup> و فراهم سازی اطلاعات به میکروکنترلرهای AVR-Atmega32 هدایت می‌شوند. میکروکنترولر با اعمال تبدیل فوریه (FFT) ۵۱۲ نقطه‌ای بر روی سیگنال نمونه برداری شده و تشخیص فرکانس آن، سرعت لحظه‌ای خودرو را محاسبه می‌نماید. از سوبی دیگر، به منظور استخراج اطلاعات سرعت، جهت و GPS سرعت، سیگنال C/N<sub>0</sub> از میکروکنترولر AVR-Atmega128 ارسال می‌شود. علاوه بر این، میکروکنترولر AVR-Atmega128 وظیفه هم‌زمان سازی میکروکنترلرهای دیگر و گردآوری اطلاعات به دست آمده از GPS و حسگرهای ABS را دارد. در پایان، بسته‌های اطلاعاتی با نرخ ۱ بسته بر ثانیه از طریق درگاه سریال به کامپیوتر مرکزی ارسال می‌شود. در این تحقیق، از نرم افزار MATLAB به دلیل بستر پردازشی مناسب استفاده شده است.



(الف)



(ب)

شکل (۱۲): (الف) نمایی کلی از سخت افزار به کار گرفته شده درون خودرو،  
(ب) دیاگرام بلوکی بخش سخت افزار

Fig. (12): (a) A schematic of the hardware used inside the vehicle, (b) The hardware block diagram

## ۵-۲- بحث و بررسی نتایج آزمایشی

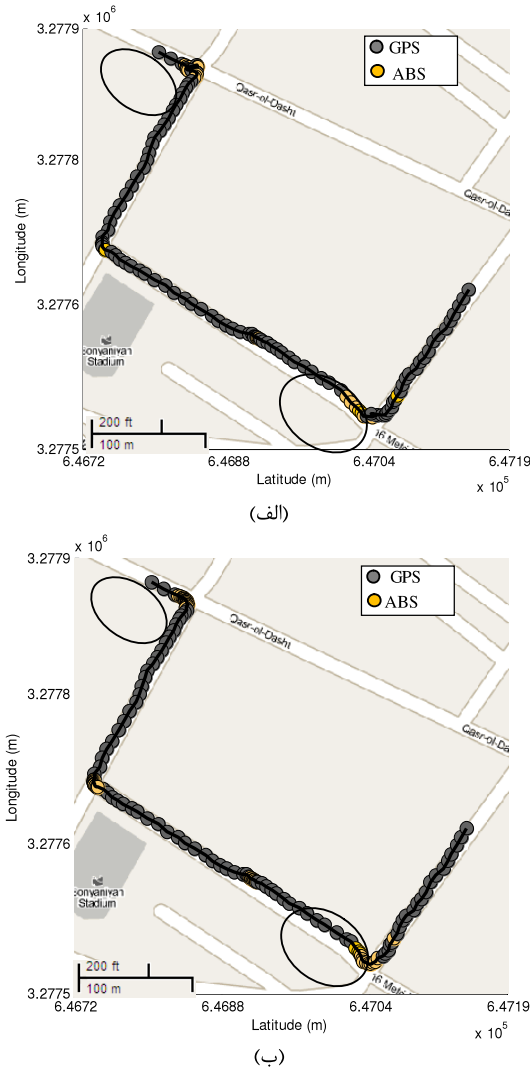
در این بخش برای تحلیل عملکرد سیستم مکانیابی پیشنهادی، نتایج آزمایش‌های مختلف مورد بررسی قرار گرفته است. تمامی آزمایش‌ها در یک محیط واقعی در شهر شیراز انجام شده است. نقشه دیجیتالی شیراز، اطلاعات طول و عرض جغرافیایی محور خیابان‌ها را به عنوان معیار مقایسه سیستم مکانیابی ترکیبی فراهم کرده است.

در ابتدا عملکرد الگوریتم پیشنهادی با سیستم‌های مبتنی بر C/N<sub>0</sub> مقایسه شده است. شکل (۱۳-الف) نقشه GIS<sup>۲۳</sup> مسیر آزمایش تحت استاندارد UTM<sup>۲۴</sup> و موقعیت به دست آمده از GPS را نشان می‌دهد. ابتدا، GPS در شرایطی مناسب و در محیطی باز، بر روی چندین ماهواره قفل شده و موقعیت صحیحی را فراهم می‌کند. سپس خودرو در نواحی پر رفت آمد شهر، در امتداد محور اصلی خیابان حرکت کرده و در مدت زمان ۱۳۴ ثانیه مسیری به طول ۱.۶ کیلومتر را پیموده است. به منظور مقایسه دقیق‌تر میان الگوریتم پیشنهادی و الگوریتم مبتنی بر C/N<sub>0</sub>، مسیر آزمایش به گونه‌ای انتخاب شده است که شامل ساختمان‌ها و درخت‌های بلند در دو سمت مسیر حرکت خودرو باشد. این شرایط باعث کاهش چشمگیر توان دریافتی سیگنال GPS می‌گردد (شکل (۱۳-ب)). همان‌گونه که شکل (۱۳-الف) نشان می‌دهد، در زمان‌های بین ۳ تا ۲۱ ثانیه و ۹۹ تا ۱۱۵ ثانیه، نقاط به دست آمده از GPS به دلیل کاهش C/N<sub>0</sub> دارای پراکندگی زیاد نسبت به مسیر اصلی حرکت خودرو می‌باشد.



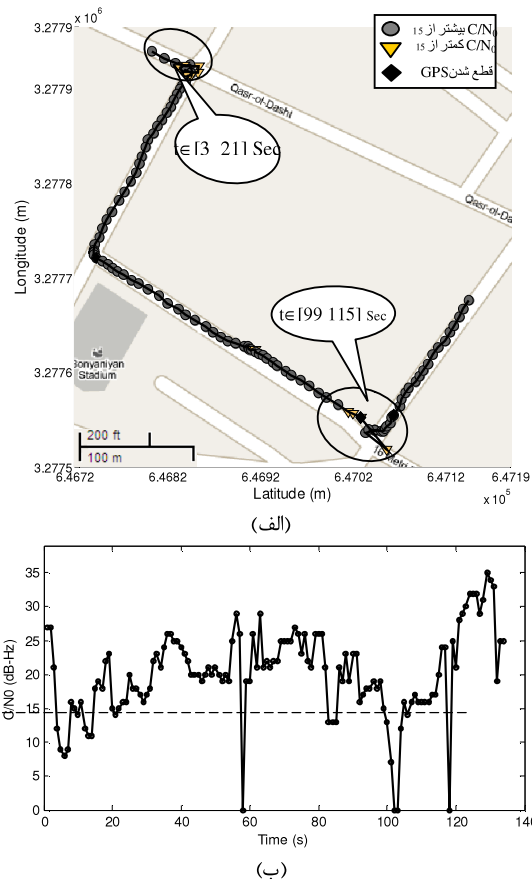
شکل (۱۱): خودرو تحت آزمایش و سخت افزارهای مورد استفاده  
Fig. (11): The vehicle under test and its hardware used

در ادامه به منظور بررسی جامع‌تر از عملکرد سیستم مکانیابی پیشنهادی در محیط‌های واقعی، از دو مسیر آزمایش با شرایط محیطی متفاوت استفاده شده است که در ادامه با جزئیات توضیح داده خواهد شد.



شکل (۱۴): (الف) نتیجه اعمال الگوریتم ناظری مبتنی بر C/N0؛ (ب) نتیجه اعمال الگوریتم ناظری پیشنهادی.

Fig. (14): (a) The result of applying observation algorithm based on C/N0, (b) The result of applying the proposed observation algorithm



شکل (۱۳): (الف) موقعیت بدست آمده از GPS بر روی نقشه مسیر؛ (ب) C/N0 بدست آمده از PS

Fig. (13): (a) The location found from GPS on the road map, (b) C/N0 obtained from PS

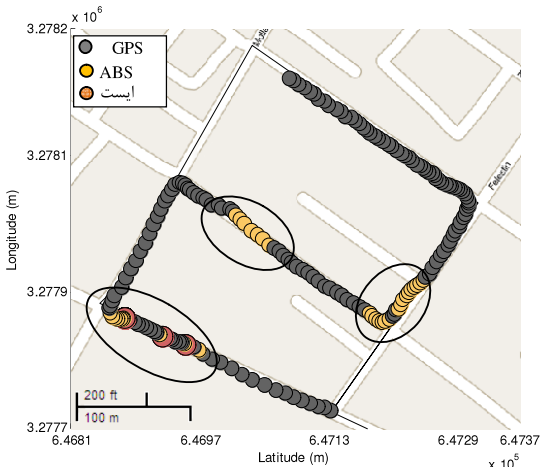
شکل‌های (۱۴)-الف و (ب) به ترتیب نتیجه اعمال الگوریتم ناظری C/N0 و الگوریتم پیشنهادی را بر روی داده‌های (نمایش داده شده در شکل (۱۳)-الف) نشان می‌دهد. مطابق شکل (۱۴)-الف نتایج حاصل از الگوریتم ناظری مبتنی بر C/N0 در نقاطی که C/N0 دارای تغییرات زیادی حول حد آستانه (15dB-Hz) است، ناپایدار می‌باشد. همچنین این الگوریتم به دلیل استفاده از تنها معیار بالایی برخوردار هستند، نمی‌باشد. شکل (۱۴)-ب نتیجه اعمال الگوریتم ناظری پیشنهادی را نشان می‌دهد. مطابق شکل، الگوریتم پیشنهادی در اغلب موارد توانسته است، نقاط GPS دارای خطای ABS پیشنهادی تشخیص داده و با جای گذاری مناسب سیستم ABS خطای GPS کلی مکانیابی را کاهش دهد. همچنین شکل (۱۵) خطای نقاط سیستم ناظری مبتنی بر C/N0 و سیستم ناظری پیشنهادی را نسبت به مسیر اصلی حرکت نشان می‌دهد. همان گونه که انتظار می‌رود، سیستم ناظری پیشنهادی دارای خطای مکانیابی کمتری نسبت به سایر سیستم‌ها است.

شکل (۱۷)، نتایج ترکیب سیستم‌های مکانیابی GPS و ABS بر اساس الگوریتم پیشنهادی را نشان می‌دهد. همان طور که مشخص است، سیستم نظارتی مبتنی بر منطق فازی به خوبی توانسته است هر یک از موارد خطای GPS را شناسایی کرده و سیستم مکانیابی مناسب را جایگزین کند.

شکل‌های (۱۸-الف و ب) به ترتیب طول و عرض جغرافیایی به دست آمده از سیستم ترکیبی پیشنهادی GPS/ABS، سیستم GPS و مسیر اصلی حرکت خودرو (محور اصلی خیابان) را نشان می‌دهد. با توجه به نمودارها، واضح است که میزان انحراف موقعیت سیستم ترکیبی از محور اصلی خیابان در مقایسه با سیستم GPS، کم بوده و از دقت بالاتری برخوردار می‌باشد. جهت واضح تر شدن موضوع، جدول (۲) میزان خطای مربع میانگین (MSE<sup>۲۵</sup>)، معادله (۴) سیستم ترکیبی GPS و GPS/ABS را نسبت به مسیر اصلی حرکت خودرو در سه آزمایش مختلف انجام شده در مسیر "الف"، نشان می‌دهد.

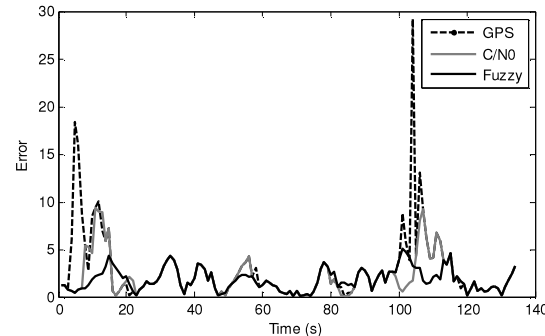
$$\text{MSE} = \frac{1}{n} \sum_{k=1}^n ((x_k - x_{\text{true},k})^2 + (y_k - y_{\text{true},k})^2) \quad (4)$$

که در این رابطه،  $x_k$  و  $y_k$  موقعیت خودرو،  $x_{\text{true},k}$  و  $y_{\text{true},k}$  موقعیت مسیر واقعی حرکت و  $n$  تعداد کل نقاط می‌باشند. با توجه به مقادیر به دست آمده، سیستم ترکیبی توانسته است MSE را به طور متوسط به میزان ۶۶٪ و ۴۲٪ (به ترتیب برای عرض و طول جغرافیایی) نسبت به سیستم GPS کاهش دهد.



شکل (۱۷): مکانیابی سیستم ترکیبی GPS و ABS بر اساس الگوریتم پیشنهادی

Fig. (17): The location-finding of combined GPS and ABS systems based on the proposed algorithm

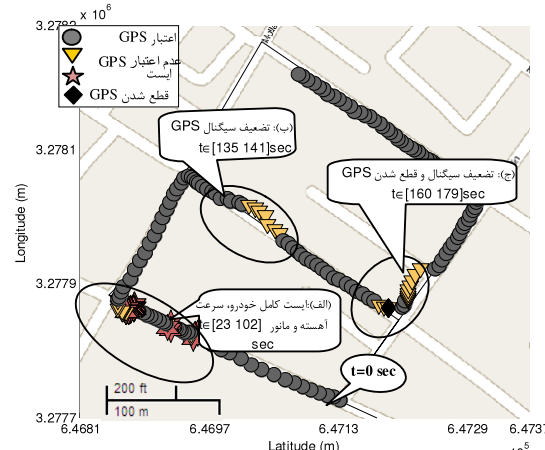


شکل (۱۵): خطای نقاط GPS، سیستم نظارتی مبتنی بر C/N0 و سیستم نظارتی پیشنهادی

Fig. (15): The error points of GPS, observation system based on C/N0 and the proposed observation system

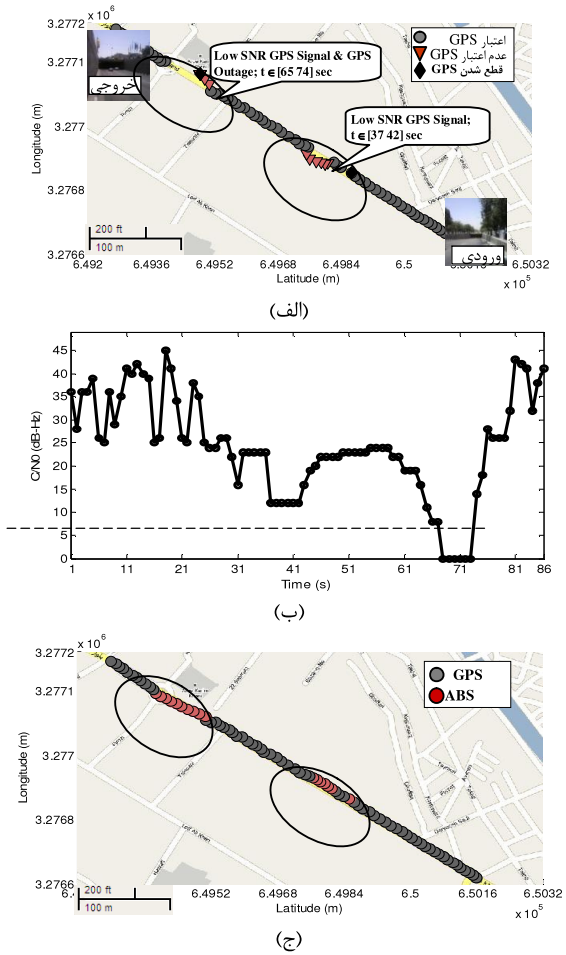
#### ۱-۲-۵- مسیر آزمایش "الف"

به منظور بررسی عملکرد سیستم پیشنهادی در محیط‌های با C/N0 کم و شرایط دینامیکی مختلف خودرو، مسیر آزمایش "الف" را در منطقه‌ای با ترافیک نسبتاً بالا و دارای ساختمان‌های بلند در دو سمت خیابان انتخاب نموده‌ایم. شکل (۱۶) نقشه GIS مسیر آزمایش "الف" و موقعیت به دست آمده از GPS را نشان می‌دهد. در این آزمایش خودرو در امتداد محور اصلی خیابان حرکت کرده و در مدت زمان ۷ دقیقه مسیری به طول ۳ کیلومتر را پیموده است. در طول انجام آزمایش چندین توقف پشت چراغ راهنما وجود داشته و سرعت خودرو بین ۰ تا ۶۰ کیلومتر بر ساعت متغیر بوده است. همان‌طور که شکل (۱۶) نشان می‌دهد، GPS در موارد مختلف دچار خطأ شده است. همان‌گونه که انتظار می‌رفت، اغلب در لحظاتی که خودرو از سرعت پایینی (بین ۰ تا ۱۰ کیلومتر بر ساعت) برخوردار بوده است، خودرو در شرایط مانور بوده است و یا خودرو در شرایط توقف کامل بوده است دچار خطای نسبتاً زیادی شده است. همچنانی پایین بودن توان سیگنال دریافتی از GPS از دیگر عوامل موثر در ایجاد خطأ در مسیر "الف" می‌باشد.



شکل (۱۶): موقعیت به دست آمده از GPS بر روی نقشه مسیر آزمایش "الف"

Fig. (16): The location found from GPS on the road map of (a)

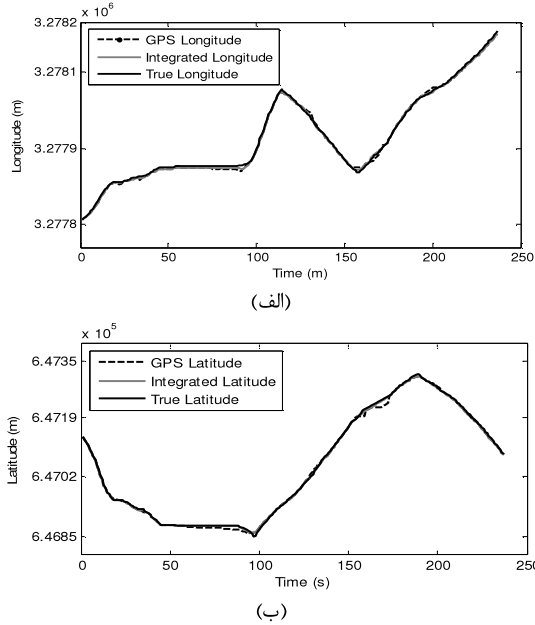


شکل (۱۹): (الف) موضعیت بدست آمده از GPS بر روی نقشه مسیر آزمایش C/N0؛ (ب) بدست آمده از GPS، (ج) مکانیابی سیستم ترکیبی GPS و ABS مبتنی بر الگوریتم پیشنهادی

Fig. (19): (a) The location founded from GPS on the test road map, (b) C/N0 founded from GPS, (c) The location finding of the combined GPS/ABS systems based on the proposed algorithm

#### ۶- نتیجه گیری

در این مقاله، الگوریتم جدیدی مبتنی بر تجربه‌های حرکتی خودرو در شرایط محیطی مختلف ارائه گردیده است. در این الگوریتم از منطق فازی به گونه‌ای بهره گرفته شده است که می‌تواند به عنوان ناظر بر سیستم‌های ترکیبی، نحوه عملکرد سیستم ترکیب‌کننده را بهبود بخشد. در این مقاله از یک سیستم ترکیب‌کننده انتخاب گر استفاده شده است که می‌تواند سیستم مکانیابی مناسب (GPS) یا ABS را بسته به نوع حالت مشخص شده توسط الگوریتم نظارتی به کار گیرد. نتایج حاصل از تست پایداری و آزمایش‌های محیطی در مناطق مختلف شهری نشان می‌دهد که الگوریتم پیشنهادی توانسته است حالت‌های مختلف موجود را شناسایی کرده و همچنین در مقایسه با کلید زنی مبتنی بر  $C/N_0$  کاملاً پایدار باشد. به طور کلی سیستم ترکیبی در مقایسه با GPS/ABS GPS در مدت قطعی (بیش از 20 ثانیه)، خطای نقاط مکانی ABS با گذشت زمان افزایش داشته است.



شکل (۱۸): (الف) طول جغرافیایی سیستم ترکیبی GPS/ABS و محور اصلی خیابان؛ (ب) عرض جغرافیایی سیستم ترکیبی GPS/ABS و محور اصلی خیابان

Fig. (18): (a) The geographical altitude of combined GPS/ABS systems, GPS and street principle axis, (b) The geographical latitude of combined GPS/ABS system, the GPS system and the principle axis of the street

#### ۲-۲-۵- مسیر آزمایش "ب"

به منظور بررسی عملکرد سیستم مکانیابی پیشنهادی در شرایط قطعی کامل سیگنال GPS، مسیر آزمایش "ب" را در تونلی به طول 700 متر انتخاب نموده‌ایم. شکل (۱۹-الف) نقشه GIS مسیر آزمایش "ب" و موقعیت بدست آمده از GPS را نشان می‌دهد. مطابق شکل، در دو مورد پی در پی، ابتدا  $C/N_0$  کاهش یافته (37 تا 42 ثانیه) و سپس سیگنال GPS برای مدت زمان 10 ثانیه (65 تا 74 ثانیه) قطع شده است. همچنین شکل (۱۹-ب) تغییرات  $C/N_0$  سیگنال GPS را در مدت زمان انجام آزمایش نشان می‌دهد. همان گونه که انتظار می‌رفت، با کاهش مقدار  $C/N_0$  از حد آستانه (15 dB-Hz)، نقاط مکانی به دست آمده از GPS از خطای بیشتری برخوردار می‌باشد. هدف این آزمایش، بررسی عملکرد سیستم مکانیابی پیشنهادی در تونل‌ها و زیرگذرها، و همچنین بیان ABS به عنوان یک سیستم مکانیابی مستقل در موقعیت پایه‌های کوتاه مدت می‌باشد.

نقاط مکانی به دست آمده از سیستم ترکیبی GPS/ABS در شکل (۱۹-ج) نشان داده شده است. همان طور که مشخص است، در موارد قطع شدن GPS و یا در  $C/N_0$  پایین، سیستم مکانیابی ABS توانسته است جایگزین مطمئنی برای GPS باشد. البته توجه به این نکته حائز اهمیت است که در صورت طولانی شدن مدت قطعی GPS (بیش از 20 ثانیه)، خطای نقاط مکانی ABS با گذشت زمان افزایش می‌یابد.

امکان پذیر بوده و همچنین استفاده از الگوریتم ژنتیک در بهینه سازی سیستم فازی باعث بالا بردن قابلیت اطمینان الگوریتم خواهد شد.

#### پی‌نوشت:

- 1- Car Navigation System
- 2- GPS
- 3- Odometer

- 4- Anti-Lock Breaking System
- 5- Artificial Intelligence
- 6- Artificial Neural Network
- 7- Probabilistic
- 8- Reliability Domain Validity
- 9- Inertial Navigation System
- 10- Dead Reckoning
- 11- Carrier to Noise Ratio

این کمیت در گیرنده GPS محاسبه می‌گردد.

- 12- Fading Satellite Ratio

این کمیت از ماتریس موقعیت فضایی ماهواره‌ها به دست می‌آید.

- ۱۳- در این مقاله منظور از سیستم مکانیابی ABS، مکانیابی مبتنی بر اطلاعات به دست آمده از حسگرهای ABS نصب شده بر روی چرخ‌های خودرو می‌باشد.

- ۱۴- مقادیر  $n$  و  $R$  با توجه به مشخصات خودرو تحت آزمایش به دست آمده است.

- 15- Instantaneous Center of Rotation

- ۱۶- گیرنده GPS اطلاعات مکانیابی خودرو را در قالب پر تکل NMEA فراهم می‌کند.

- 17- Selective Fusion System

- 18- Bias Shift

- 19- Time Phase Shift

- 20- Singleton

- 21- Center of Singleton

۲۲- فرکانس نمونه برداری ۳۰۰۰ نمونه در ثانیه در نظر گرفته شده است.

- 23- Geographic Information System

- 24- Universal Transverse Mercator

- 25- Mean Square Error

همچنین نشان داده شد که ایده پیاده‌سازی چنین سیستمی کاملاً عملی بوده و با توجه به مجهز بودن خودروهای امروزی به حسگرهای ABS می‌توان آن را عنوان یک سیستم مکانیابی ارزان قیمت و قابل دسترس برای مکانیابی‌های کوتاه مدت به کار گرفت.

Table (2): The comparison of mean square error of combined system and GPS

جدول (۲): مقایسه مربع خطای میانگین سیستم ترکیبی با GPS

		Latitude MSE (m)	Longitude MSE (m)
Test Route 1	GPS	27.4232	14.0682
	GPS/ABS	6.7634	8.9742
Test Route 2	GPS	23.3844	15.6234
	GPS/ABS	8.5672	9.1288
Test Route 3	GPS	19.2168	15.4328
	GPS/ABS	7.5732	8.1464
Average	GPS	23.3415	15.0415
	GPS/ABS	7.6346	8.7498

#### ۷- مطالعات آینده

با توجه به ظرفیت تحقیقاتی الگوریتم پیشنهادی، چندین زمینه مختلف حول این موضوع قابل بررسی است:

- در این مقاله از یک سیستم ترکیب کننده انتخاب گر ساده استفاده شده است، که می‌توان آن را با هر یک از سیستم‌های مبتنی بر فیلتر کالمون یا الگوریتم‌های هوشمند جایگزین کرد و به طور خاص نتایج سیستم ترکیب کننده را با حضور الگوریتم نظارتی فازی مورد بررسی قرار داد.
- بدون افزایش حسگرهای دیگر یا استفاده از معادلات دینامیکی پیچیده‌تر می‌توان دقیقیت مکانیابی بر پایه ABS را برای فواصل طولانی تر بسط داد، که در این راستا روش‌های مبتنی بر شبکه‌های عصبی می‌تواند ایده مناسبی باشد.
- تکمیل سیستم فازی ارائه شده با شناسایی قوانین تجربی جدید که حالات‌های دیگری از خطاهای GPS را پوشش می‌دهد

#### مراجع

- [1] J. Collin, H. Kusniemi; "HSGPS under heavy signal masking - accuracy and availability analysis", In Conf. on Navi. in 21st Century Stockholm, Sweden, pp.277-288, 2003.
- [2] G.D. Macgougan, "High sensitivity GPS performance analysis in degraded signal environments", University of Calgary, 2003.
- [3] Kai-Wei Chiang; Y.-W.H., "An intelligent navigator for seamless INS/GPS integrated land vehicle navigation applications", Jou. of App. Soft Comp., p.722-733, 2008.
- [4] G. Fiengo, D.D.D., L. Glielmo, "A hybrid procedure strategy for vehicle localization system", Jou. of Cont. Engi. Prac., p.14-25, 2009.
- [5] J.H. Gao, W.a.Y., "The aiding of MEMS INS/GPS integration using artificial intelligence for land vehicle navigation", IAENG Int. Jou. of Comp. Sci., 2007.
- [6] P. Bonnifait, P.B., Paul, C. Crubill, D. Meizel, "Data fusion of four ABS sensors and GPS for an enhanced localization of car-like vehicles, Proc. of the IEEE Inte. Conf. on Rob. & Auto., Seoul, Korea, p.1597-1602, 2001.
- [7] K.W. Chiang; "INS/GPS integration using neural networks for land vehicular navigation applications, department of geomatics engineering", The University of Calgary, Canada, UCGE Report 20209, 2004.
- [8] H. Banizaman, M. Taban, A. Torab, "Implementation car navigation system based on GPS and EKF using multi-model framework", 16th Iran. Conf. on Elec. Eng. (ICEE2008), Tehran, Iran, 2008.

- [9] V. Honavar, L. Uhr; "Artificial intelligence and neural networks: Steps toward principled integration", Academic Press, Boston, 1994.
- [10] Guojiang Gao, Gérard Lachapelle, "A novel architecture for Ultra-Tight HSGPS-INS integration", Jou. of Glob. Posi. Sys., Vol.7, No.1, pp.46-61, 2008.
- [11] A. Schmid, "Carrier to noise power estimation for enhanced sensitivity Galileo/GPS receivers", IEEE/VETECS, Vol.4, pp.2629-2633, 2005.
- [12] S.R. Swanson, "A fuzzy navigational state estimator for GPS/INS integration", IEEE/PLANS, p.541-548, April 1998.